



DX-MB 2332 – 14. Dezember 2022

DX Mitteilungsblatt

DARC-Referat DX

Editor: Andreas Salder, DK5ON

(E-Mail: dxmb@darcdxhf.de)

(<https://www.darc.de/der-club/referate/dx/>)



Deutscher Amateur-Radio-Club e.V.

Bundesverband für Amateurfunk in Deutschland

Wöchentlich erscheinende DX-Mitteilungen des DARC – Referates DX

DX-Aktivitäten

5H, TANSANIA:

JP (Jeyaprakash) VU2BGC arbeitet sporadisch unter **5H5PJ** meist in CW auf 20m aus der Stadt Iringa. Seine Aufenthaltsdauer ist jedoch nicht bekannt. Die Verbindungen werden über eQSL und LoTW bestätigt.

9K, KUWAIT; A6, UNITED ARAB EMIRATES; A9, BAHRAIN; HZ, SAUDI ARABIA:

Anlässlich der Feierlichkeiten zum Nationalfeiertag von Bahrain arbeiten die Mitglieder der lokalen Funkamateurorganisation vom 10. bis zum 16.12. unter dem Rufzeichen **A91ND**. QSL an EC6DX. Dieser Nationalfeiertag wird auch von den befreundeten Nachbarländern Saudi-Arabien 10. bis zum 16.12. unter dem Rufzeichen **HZ1BHR** (QSL an HZ1SAR), Kuwait 12. bis zum 18.12. unter dem Rufzeichen **9K9BHR**, Arabischen Emirate 10. bis zum 16.12. unter dem Rufzeichen **A60BHR** (QSL an EA7FTR) und auch von einzelnen Operatoren unter den Rufzeichen **A60BHR/0**, **A60BHR/1**...etc. in Erinnerung gerufen. (QSL-Info auf QRZ.COM).

ANTARCTICA:

Sarab/VU2CUW ist auf dem Weg zum indischen Stützpunkt Maitri Base und soll Mitte Dezember in der Antarktis eintreffen. Die Basis ist auch unter Friendship Research Centre im Queen Maud Land, Antarctica (**AN-016**) bekannt. Er ist Teil der 42. wissenschaftlichen Expedition und wird als Funker auf den Stützpunkten Bharati und Maitri arbeiten. Er bleibt für ein Jahr vor Ort. In seiner Freizeit ist er auf den Kurzwellen Bändern unter dem Rufzeichen **AT42I** aktiv.

EX, KYRGYZSTAN:

Bob/DU7ET (WT3A) ist nach Bishek zurückgekehrt und ist hauptsächlich in seiner Freizeit in CW unter dem Rufzeichen **EX0ET** auf den Bändern von 30 bis 10m QRV. QSL via DU7ET (d)

OE, AUSTRIA:

Vom Januar 2023 bis zum Juni 2023 wird das Sonderrufzeichen zur 40-jährigen Jahrfeier des „Le Radio-Club de l'Université Technologique

de Vienne“ **OE40XTU** auf den Bändern QRV sein.

SP, POLAND:

Anlässlich ihres 65. Jubiläums aktiviert die Amateurfunkabteilung des Lubliner Sektors die speziellen Rufzeichen **SP65PLU**, **SN65PLU**, **SQ65PLU**, **SP8PAI**, **SP8PLU** und **SP8TK**. QSL via (d/B)

SP POLAND:

Am 5. Juni 1992 wurde das erste QSO auf dem „Magic Band“ 50 MHz in Polen durchgeführt, zwischen einer von der Polnischen Funkagentur (PAR) zu Versuchszwecken in diesem Band zugelassenen Spezialstation **3Z4PAR** mit dem Operator Chris/SP4TKK jetzt SP4K und Dan/IK1EGC. Der Erfolg dieser Operation eröffnete den polnischen Funkamateuren die Freigabe des Bandes. Zum 30. Jahrestag wurde das Sonderrufzeichen **3Z30PAR** ausgegeben und wird von Chris/SP4K nach 30 Jahren aus demselben Shack dieses allerersten QSOs aktiv auf den Bändern zu hören sein. QSL via SP4KM (d/B) oder LoTW



TI, COSTA-RICA:

Jan/F4AHV besuchte Gérard/HR5/F2JD in Honduras und setzt seine geplante Reise mit dem Wohnmobil über Nicaragua nach Costa Rica fort, wo er Mitte Dezember unter dem Rufzeichen **TI8/F4AHV** QRV sein wird. Ab Mitte Januar wird er dann unter **HK3/F4AHV** aktiv sein. Geplant sind QSO's auf den Bändern 20m, 17m und 15m. Er aktiviert eine APRS-Bake auf 30m von seinem Fahrzeug aus abends und morgens, um die Route mitzuverfolgen. Diese ist hier zu finden:

DX-MB vom 14. Dezember 2022, Nummer 2332

Die deutsche Text-Version finden Sie auf unserer Homepage:
<https://www.darc.de/der-club/referate/dx/dxmb/>



<http://aprs.fi/6W7RV-10> (10.470.30 Robust Packet Network, SCS Modem) oder hier die 2m Bake: <http://aprs.fi/F4AHV-9>



DX News

** Pirat **

Ein Pirat war in der letzten Zeit unter dem Rufzeichen **3A/IK4FXX** in der Luft.

LoTW – SERVER WARTUNG

Aufgrund geplanter Wartungsarbeiten und Software-Updates wird der **LoTW-Server** am 15.12. von 09:00 bis 13:00 UTC nicht online sein.

VP8, SÜDGEORGIEN und SÜD-SANDWICH IS.:

In diesem Jahr (2022) hat die Regierung von Südgeorgien das gesamte Gebiet von Südgeorgien und den Südlichen Sandwichinseln zum Schutzgebiet erklärt, um das bestehende Ökosystem zu erhalten und die ursprüngliche Artenvielfalt wiederherzustellen. Alle Aktivitäten, die in diesem Gebiet durchgeführt werden, werden hinsichtlich ihrer Auswirkungen auf das Ökosystem bewertet und Genehmigungen zum Besuch dieser Gebiete werden entsprechend erteilt. Der Tourismus wird nur begrenzt erlaubt sein, damit die Menschen die Möglichkeit haben, diese erstaunlichen Lebensräume zu sehen und mehr über die Artenvielfalt der Inseln zu erfahren. Aus diesem Grund ist jegliches Betreten des Schutzgebiets der Südlichen Sandwichinseln ohne Genehmigung verboten. Die Genehmigung zum Betreten der Insel wird nur unter besonderen Umständen erteilt und die DX-Expeditionen gehören nicht in diese Kategorie. Die Südgeorgien-Inseln haben nicht so strenge Kriterien, DX-Expeditionen sind immer noch möglich, aber es kostet mehr als

1000 USD, um den Bewerbungsprozess zu starten. Also ein weiteres DXCC-Land, das möglicherweise von der aktuellen Liste gestrichen wird. Mehr Informationen auf www.gov.gq/environment/south-georgia-the-south-sandwich-islands/

Insel – Aktivitäten



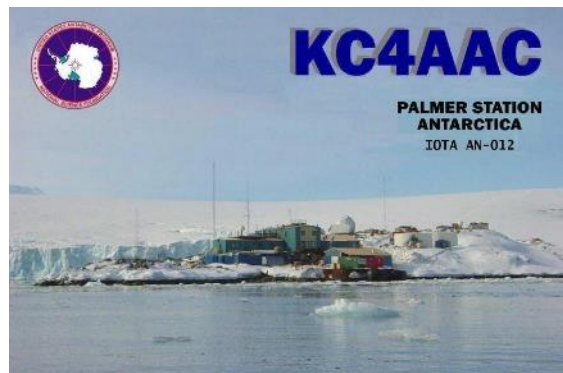
Zusammengestellt von Andreas, DK5ON
(E-Mail: dk5on@darc.de)

IOTA-Vorzugsfrequenzen

CW: 28040 24920 21040 18098 14040 10114
7030 3530 kHz
SSB: 28560 28460 24950 21260 18128 14260
7055 3760 kHz

AN-012; Various, GRAHAM LAND WEST (PALMER ARCHIPELAGO) group:

Für die Saison 2022-2023 gibt es einen neuen Betreiber auf der US-Antarktisbasis Palmer auf Antwerpen Island mit dem Rufzeichen KC4AAC. QSL via K7MT (OQRS) oder LoTW



NA-099; KP3,4, PUERTO RICO:

Ben/KC0BLK wird vom 18. bis 21. Dezember aus Puerto Rico unter dem Rufzeichen KP4/KC0BLK QRV sein. QSL über KC0BLK

SA-002; VP8, FALKLAND ISLANDS:

Jonathan/2E0KZN, der seinen Betrieb als **VP8TAA** Anfang November einstellen sollte, gab bekannt, dass er bis Januar auf den

Falklandinseln bleiben werde. Er sendet von der Clubstation **VP8RAF**, wo er eine Antenne auf 40-10m und eine PA 500W hat. Jonathan arbeitet hauptsächlich in SSB, kann aber auch eine CW-Verbindung machen, allerdings nur mit einer langsamen Geschwindigkeit. QSL über OQRS an M0OXO.



SA-036; P4, ARUBA:

Heli/DD0VR und Bigi/DE3BWR werden vom 16. bis 23. Dezember unter dem Rufzeichen **P4/DD0VR** von der Insel Aruba aus in QRP mit 10 Watt in SSB und 5 Watt in CW in der Luft sein. QSL via DD0VR (d/B)

Informationen geplanter Insel - Aktivitäten

AF-005; D4, LEEWARD ISLANDS:

Nach seiner Aktivität in Burkina-Faso unter XT2AW plant Harald/DF2WO ab dem 3. bis 21. Januar 2023 wieder von den Kapverden aus unter dem Rufzeichen **D44TWO** QRV zu sein. Er plant von 160m bis 6m und Satellit QO-100 in SSB, CW und FT4/8 aktiv zu sein. QSL über MOOXO.

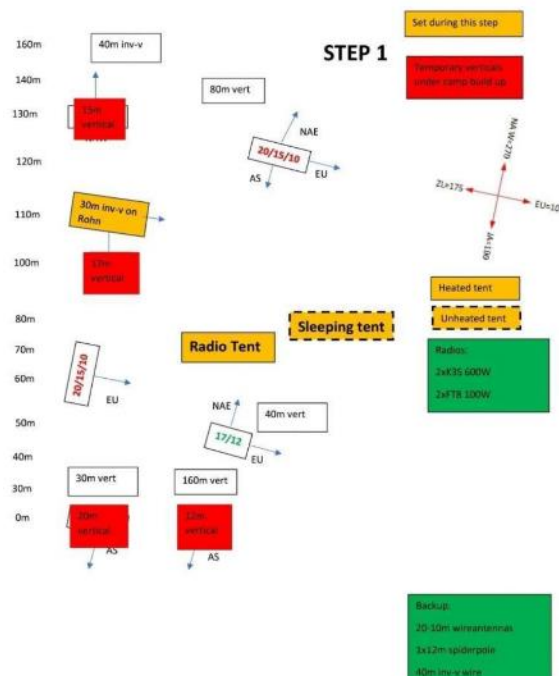


3Y0J BOUVENT ISLAND

Aktualisierung durch Ken LA7GIA

Unser Camp-Aufbauplan besteht aus 4 verschiedenen Schritten, die in den letzten 2,5 Jahren ausgereift und entwickelt wurden, basierend auf den Lektionen, die wir von anderen DXpeditionen gelernt haben. Lektion 1 ist, dass wir darauf vorbereitet sein müssen, während eines kurzen WX-Fensters auf den Bouvet zu gehen! Wenn also unsere einzige

Chance darin besteht, während eines 3-stündigen Wetterfensters an Land zu gehen, werden wir in Schritt 1 unsere leichte Ausrüstung mitbringen. Schritt 2 ist die Erweiterung der Stationsaufbau mit Yagis. Schritt 3 ist das Anbringen der Lowband-Antennen, und Schritt 4 ist der letzte Schritt, wo wir unseren Aufbau vervollständigen.



FT8/W CROZET IS.:

Die Reise nach Crozet ist für Thierry gestartet. Auf dem Foto sieht man ihn am 10.12. morgens am Flughafen von Bordeaux, wo er sich auf seinen Flug über Paris nach La Réunion vorbereitet. Das Abenteuer Crozet Island hat endlich begonnen!



POTA-Aktivitäten



Parallel zu dem WWFF-Programm gibt es auch ein „**Parks On The Air ® (POTA)**“ Programm. Dieses beinhaltet auch Referenzen der Parks und ein Diplomprogramm. Mehr Informationen auf der Homepage <https://parksontheair.com/>

K-1181, Palomar Mountain State Park

Bill/N6EF plant am 16.12. von 2200 UTC bis 0100 UTC auf 20m in CW und SSB aus dem Palomar Mountain State Park QRV zu sein. QSL via LoTW oder eQSL

K-7259, Fort Kaskaskia State Historic Site, K-7258, Pierre Menard Home State Historic Site,

K-7984, St Genevieve (Beauvais House) National Historical Park,

K-3348, Felix Vallé House State Historic Site:

Am 20.12. plant Rob/KC0ECQ Aktivierungen aus 5 verschiedenen Parks und ist auf 20m jeweils um 14277 MHz QRV. Hier die Liste der Zeiten für die Aktivierungen und den POTA Gebieten:

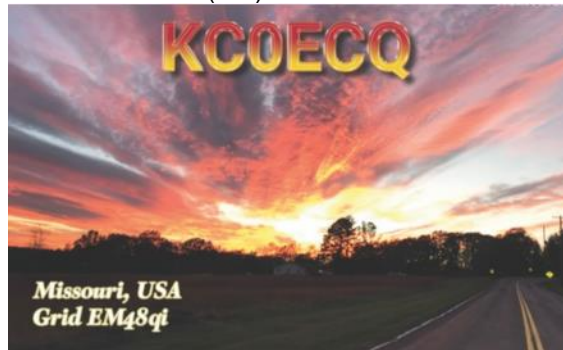
1700 UTC bis 1800 UTC aus **K-7259** (Fort Kaskaskia State Historic Site)

1800 UTC bis 1830 UTC aus **K-7258**, Pierre Menard Home State Historic Site,

1900 UTC bis 2000 UTC aus **K-7984**, St Genevieve (Beauvais House) National Historical Park,

200 UTC bis 2101 UTC aus **K-3348**, Felix Vallé House State Historic Site.

QSL via KC0EC (d/B)



Kurzzeit Diplome auf Kurzwelle



WRTC 2023 AWARD

Um die "World Radiosport Team Championships (WRTC)" zu fördern, die im Juli in Italien stattfinden werden, kann dieses Diplom durch tägliche Kontakte mit den folgenden Sonderstationen im Januar 2023 erworben werden:

II1WRTC (Piemonte, Liguria), **II2WRTC** (Lombardia), **II3WRTC** (Veneto, Friuli Venezia Giulia, Trentino Alto Adige), **II4WRTC** (Emilia Romagna), **II5WRTC** (Toscana), **II6WRTC** (Marche, Abruzzo), **II7WRTC** (Apulien, Basilicata), **II8WRTC** (Kampanien, Kalabrien, Molise, Basilicata), **II9WRTC** (Sizilien), **II0WRTC** (Latium, Umbria), **IR1WRTC** (Valle d'Aosta), **IO0WRTC** (Sardegna), **4X22WRTC**, **8N1WRTC**, **9A22WRTC**, **9M6WRTC**, **B1W**, **CQ7WRTC**, **DA22WRTC**, **E2WRTC**, **EF2WRTC**, **EF8WRTC**, **GB2WRTC**, **IO1WRTC**, **IO8WRTC**, **LZ0WRTC**, **N0W**, **N1W**, **N4W**, **N5W**, **N6W**, **N7W**, **N9W**, **ZV7WRTC**, **ZW5W**, **SP0WRTC**, **SX0WRTC**, **VE2WRTC**, **VR2WRTC**, **YT0WRTC**, **YW1WRTC**, **ZL6WRTC**, **ZX5W**, **ZV7WRTC**.

Die Regeln können unter folgender Adresse eingesehen werden:

<https://www.wrtc2022.it/en/wrtc-2023-award-31.asp>



KW Conteste

Termine Dezember 2022:

26.12. DARC Weihnachtswettbewerb
0830 - 1059 UTC
CW/SSB

Die Ausschreibungen finden Sie ebenfalls auf
<http://www.darc.de/der-club/referate/conteste/>
sowie mittels der Contest Termin-Tabelle in der
CQ DL 12/2022 auf Seite 62.

Kalender

von	-	bis	DX	DX-MB
01.07.	-		3A/F6EXV	2308
01.07.	-		3A/PB8DX	2308
28.11.	-	14.12.	3B8/F6HMQ	2331
28.11.	-	14.12.	3B8/F6GWV	2331
20.01.	-		3B8HH	2285
	-		3C3CA	2322
19.11.	-	20.12.	3D2AG	2329
25.03.	-		3X1A	2303
	-		3Z30PAR	2332*
08.22	-		5H2JK	2313
23.11.	-		5H3SE	2329
	-		5H5PJ	2332*
21.09.	-	31.12.	5H8HZ	2330
18.04.	-		5P0WARD	2297
17.06.	-		5R8BM	2308
30.11.	-	20.12.	5UA99W	2331
16.11.	-		5V7JA	2328
01.12.	-		5W0RS	2330
01.05.	-		5X7W	2301
01.01.	-	31.12.	6F6F	2284
16.06.	-		6O1OO	2307
27.11.	-	11.01.23	6Y5/W8YCM	2330
01.12.	-	11.01.23	6Y8LV	2331
06.2022	-		7P8AB	2306
06.2022	-		7P8NB	2306
	-	31.03.23	8J1H90T	2330
13.12.	-	22.12.	8Q7CA	2331
22.05.	-		9G5XA	2304
	-	06/22	9J2MYT	2279
01.10.	-		9J2SEU	2322
10.12.	-	16.12.	9K9BHR	2332*
11/21	-		9N7AA	2306
25.04.	-		9N7CI	2300
25.04.	-		9N7WE	2300
15.11.	-	31.12.	9M100SK	2329
10.12.	-	16.12.	A60BHR	2332*
19.11.	-	19.12.	A60FIFA	2329
19.11.	-	19.12.	A60FIFA/1	2329

19.11.	-	19.12.	A60FIFA/2	2329
01.10.			A65/DL2RMC	2321
18.10.	-	18.12.	A722FWC	2324
18.10.	-	18.12.	A71FIFA	2324
18.10.	-	18.12.	A72FIFA	2324
18.10.	-	18.12.	A73FIFA	2324
18.10.	-	18.12.	A74FIFA	2324
18.10.	-	18.12.	A75FIFA	2324
18.10.	-	18.12.	A76FIFA	2324
18.10.	-	18.12.	A77FIFA	2324
18.10.	-	18.12.	A78FIFA	2324
10.12.	-	16.12.	A91ND	2332*
15.12.	-	12/23	AT42I	2332*
28.11.	-	24.02.23	C5YK	2331
01.05.	-		C83YT	2301
	-		C91CCY	2322
18.11.	-	20.12.	CN22CWQ	2329
05.12.	-	18.12.	CN22JIM	2330
03.01.23	-	21.01.23	D44TWO	2332*
01.01.	-	31.12.	DB5ØAFZ	2283
01.01.	-	31.12.	DF4ØBGK	2283
20.02.	-	19.02.23	DKØHN	2285



01.10.	-	31.12.	DK0SY	2322
01.01.	-	31.12.	DKØ5ØBN	2283
01.01.	-	31.12.	DK65DEL	2285
01.01.	-	31.12.	DLØHO	2284
26.01.	-	25.01.23	DLØOF	2288
07.05.	-	06.05.23	DL1640Y	2312
01.01.	-	31.12.	DL6ØLINDAU	2283
01.01.	-	31.12.	DL7ØWOB	2283
01.01.	-	31.12.	DL73AFUG	2283
01.01.	-	31.12.	DL75DRG	2283
01.01.	-	31.12.	DL75HIL	2282
01.01.	-	31.12.	DL75HES	2291
01.01.	-	31.12.	DL75OBY	2285
01.01.	-	31.12.	DL75RLP	2288
01.01.	-	31.12.	DP44N44T	2284
	-	31.12.	DR100RY	2320
01.10.	-	30.09.23	DR45HAAN	2330
01.01.	-	31.12.	DR5ØBAWA	2305
03.12.	-	18.12.	EE44C	2331
01.12.	-	25.12.	EG3HAM	2330
01.12.	-	31.12.	EH6FPM	2331
01.01.	-	31.12.	EI9ØIRTS	2282
	-		EX0ET	2332*
01.09.	-	01.04.24	FH4VVJ	2314
01.09.	-	01.04.24	FH4VVK	2317
15.10.	-		FJ4WEB	2324
07.22	-		FO5QS	2312



	-	31.12.22	FS/KC9FFV	2298	26.12.	-	30.12.	TM8AB	2330
	-	03.23	FT4YM	2324	03.09.	-	16.12.	TM8GE	2320
	-	02.24	FW1JG	2287	31.10.	-	15.12.	TM90GF	2330
01.01.	-	31.12.	GB1ØØBBC	2282		-		TO5Z	2328
14.01.	-	23.12.	GB19ØØHA	2285		-	06/23	TT8SN	2320
14.01.	-	23.12.	GB19ØØHW	2285		-		TZ4AM	2311
01.01.	-	31.12.	H32AT	2290	18.10.	-		V55WH	2324
06.12.	-	19.12.	H44SHD	2330	06.2022	-		V73MS	2306
01.01.	-	31.12.	HB5ØSH	2283	31.10.	-		V85NPV	2329
01.07.	-	31.12.	HB75SG	2308	01.01.	-	31.12.	VK9ØABC	2287
15.03.	-	15.03.23	HG2ØØAN	2293		-	04/2023	VK9WX	2331
15.03.	-	15.03.23	HG2ØØDO	2293	2.1.23	-	31.03.23	VP2MDX	2300
15.03.	-	15.03.23	HG2ØØEF	2293		-		VP5MA	2302
15.03.	-	15.03.23	HG2ØØIR	2293	01.12.	-	01.2023	VP8/SQ1SGB	2331
15.03.	-	15.03.23	HG2ØØOT	2293		-		VP8AAE	2320
15.03.	-	15.03.23	HG2ØØPS	2293	23.09.	-	12.22	VP8DLB	2324
	-		HK3/F4AHV	2332*	12/22	-	01/23	VP8RAF	2332*
25.07.	-	15.05.23	HK3JCL	2307	12/22	-	01/23	VP8TAA	2332*
23.11.	-	13.03.23	HR5/F2JD	2329	14.05.	-		W1M	2301
06.11.	-	02.04.23	HS0ZME	2326		-	14.01.23	WA5LFD/p	2330
10.12.	-	16.12.	HZ1BHR	2332*	04.12.	-	09.12.	XF1S	2330
01.12.	-	31.12.	II1MM	2330		-	31.12.	XI0X	2296
	-	06.23	J28HJ	2311		-	18.12.	XT2AW	2331
08.22	-		J28RC	2315	02.12.	-	23.12.	XW4KV	2331
01.10.	-	15.12.	J5GQA	2330	21.08.	-		XZ2A	2316
01.10.	-		J5JUA	2323	25.06.	-		XZ2B	2309
17.11.	-	15.12.	JI3DST/6	2328		-	12/2025	YB8QT	2330
17.11.	-	15.12.	JJ5RBH/6	2328	01.09.	-		Z6/KN4PRE	2317
17.11.	-	15.12.	JR8YLY/6	2328	28.08.	-		ZA/DG7PX	2317
14.05.	-		K4RC	2301	23.08.	-		ZA/Z35M	2315
12/22	-	12/23	KC4AAC	2332*	25.08.	-		ZL4/VE6TC	2318
18.12.	-	21.12.	KP4/KC0BLK	2332*	15.07.	-		ZL7/ZL1VV	2311
01.01.	-	31.12.	LA1ØØB	2283		-	31.12.	ZL75WARC	2325
	-	31.12.	LZØ1MLN	2277					
01.01.	-	31.12.	LZ1GLASS	2285					
23.04.	-		OE22M	2298					
01/23	-	06/23	OE40XTU	2332*					
28.11.	-	26.12.	OG1XMAS	2331					
01.03.	-	31.12.	OR1ØØRCBE	2290					
01.01.	-	31.12.	OZ5ØDDXG	2282					
16.12.	-	23.12.	P4/DD0VR	2332*					
01.12.	-	31.12.	PA22XMAS	2330					
01.12.	-	31.12.	PD22SANTA	2330					
01.12.	-	31.12.	PD23HNY	2330					
01.01.	-	31.12.	PI75LIM	2287					
19.11.	-	18.12.	PV22CUP	2327					
01.01.	-	31.12.	PX2Ø22BR	2282					
24.10.	-	24.03.23	RI1ANU	2324					
	-		RI41POL	2321					
01.05.	-		S035S	2301					
10.12.	-	16.12.	S21DX	2331					
01.01.	-	31.12.	SK50EI	2284					
01.01.	-	14.12.	SP9FIELD	2282					
01.12.	-	31.12.	SX338M	2330					
01.07.	-	31.12.	TI1GOAL	2313					
	-		TI8/F4AHV	2332*					
15.01.	-	31.12.	TMØCR	2286					
10.12.	-	21.12.	TM200LP	2330					
27.12.	-	29.12.	TM200LP	2330					

* = neu oder aktualisiert

.. = und andere Calls



QSL-Informationen

3A/F6EXV	via F6EXV	6Y5/4S7RO	via F6BFH (B), (*)
3A/IR1DCI	via IK1GPG (B)	6Y5/W8YCM	via W8YCM (d)
3A/PB8DX	via PB8DX	6Y6ØHM	via EA5GL (B)
3A/DL2SBY	via DL2SBY (d), (L)	6Y8LV	via W8YCM (d)
3A3A	(L)	7A1B	via EA7FTR (d), (L)
3A6M	via F6EXV ((O)), (B), (L)	7G1RL	via HA3JB (d), (L)
3B8/DK6SP	via DK6SP (B), (L)	7Q5RU	via R7AL (L)
3B8/KX7M	via F5CWU (B)	7Q6M	via K6ZO (L)
3B8X	via PFØX (B), (L)	7R19MG	via (d), (e)
3B9/MØCFW	via (L)	7R7A	via 7X2VFK (d)
3C3CA	via TA2OM (B), (L), (e)	7S7SOP	via SM7RYR (nur (L))
3X1A	via F1TMY QSL nur (C)	7T60A	via 7X2DD (d)
3Z7ØFI	via SP9JPA (B)	7X2GK	via IK2DUW (d), (L)
3Z95PRK	via SP9MRP (B)	7X2VFK	via 7X2DD (d)
4D3X	via W3HNK (d), (L)	7Y19MG	via (d), (e)
4K7DK	via DK1DKE (B)	7Z1VD	via EA5GL (B), (L)
4L1FP	via K6VHF (B), (L), (e)	7Z92ND	via HZ1SAR (d)
4L8A	via MØOXO (B-(O)), (L)	8A64BALI	via YH9AA (d), (e)
4S7RO	via F6BFH (B), (*)	8J1H9ØT	via JARL-Bureau, (L), (e)
4U1A	via UA3DX (B), (L)	8J3S	via JK3IJQ (B)
4W/JH2EUV	via JH2EUV (B), (L)	8P9NF	via JARL-Bureau, (L), (e)
4W/VK1AO	via VK1AO (L), (e)	8S0C	via EA4NF (L)
4X6FR	via 4X6OM	8S9J	via SM0MPV (B), (L)
5A1HA	via F6BFH (B), (*)	8Q7AG	via SM5TOG (nur (L))
5A1AL	via 5A1AL ((O)), (L)	8Q7QE	via IZ2DPX (B), (L)
5B/NP2KY	via 5B-Bureau	8Q7TD	via EA5Q (B), (L)
5B4AQC	via DK6SP (B), (L)	8Z92ND	via IK1TDD (B), (L)
5B4AMM	via UT5UDX (L), (e)	9A/DL7MDX	via HZ1SAR (d)
5B4YOTA	via 5B4CY (d), (B)	9A/F5SNJ	via DL7MDX (B), (L)
5C4ØDN	via CN8DN (d)	9A/W8FNG	via F5SNJ (nur (L))
5E5R	via CN8YZ (L), (e)	9A/S50IPA	via W8FNG (d), (L)
5H2JK	via DL8AAI (B)	9A/SQ9CNN	via S50IPA
5H3FM	via HB9DSP (B), (L)	9A1WFF/p	via SP9FIH (B), (L)
5H3SE	via (L)	9A2Ø22ICM	via 9A2MF (B)
5H8HZ	via TA1HZ (d), (L), (e)	9A22YOTA	via 9A6KX (d), (L), (e)
5KØT	via LU1FM (d), (L), (e)	9A24ZRF	via 9A1A (B), (L)
5K0YD	via IK2DUW (d)	9A5Y	via 9A7ALZ (B), (L)
5N/KE5GUR	via KE5GUR (d). (e)	9A8GHJ/p	via 9A7W (B), (L)
5P1KZX	via OZ1KZX (B), (L), (e)	9H/IV3CTS	via OE7GHJ (B)
5P1OT	via SP1OT (B)	9H6LH	via YT4RA (L), (e)
5P5Q	via OZ9XU (B), (L), (e)	9H6QE	via DL1KJ (B)
5P5T	via OZ1FDH (L), (e)	9J2SEU	via 9H1MRC (d)
5P6MJ	via OZ6MJ (L), (e)	9K2OW	via OE3SEU (L)
5P8VW	via DJ8VW (B), (L), (e)	9K9KSA	via EC6DX (d), (L)
5Q5CW	via DL5CW (B), (L)	9M100SK	via EC6DX (d), (L)
5Q7DX	via PA7JWC (B), (L)	9M59SD	via 9W2TXL (d)
5R8CG	via DL2AWG (B), (L)	9M6NA	via 9W8KIF (d)
5R8FG	via IZ6BRJ (B)	9N7AA	via JE1JKL (B), (L)
5R8MM	via DL2AWG (B), (L)	9V1ZV	via S57DX (d), (L)
5R8PA	via DL2AWG (B), (L)	9X5GG	via EA5GL (B), (L), (e)
5R8WG	via DL2AWG (B), (L)	A35JP/p	via F6BFH (B), (*)
5R8WP	via DL2AWG (B), (L)	A43KSA	via JA0RQV (B), (L)
5R8AL	via G3SWH (d), (L)	A43UAE	via EC6DX (d), (L)
5WØRS	via IT9YVO (d)	A6ØA	via A47RS (B), (L), (e)
5X3R	via IK2DUW	A60FIFA/2	via EA7FTR (d), (L)
5X4E	via IQ3CO (B); IZ3ZLG (d)	A65/DL2RMC	via EA7FTR
6D5C	via XE1H (nur (L))	A65DR	via DL2RMC (B), (L)
		A61ZX	via N4GNR (d), (L)
			via IZ8CLM (B), (L), (e)



A62A	via EA7FTR und (L)	CR3Y	via OM2FY
A71AU	via F6BFH (B), (*)	CR6K	via CT1ILT (O), (d), (L)
A71FIFA	via A71A (B), (L)	CS2C	via OK1RF
A72FIFA	via QARS-Bureau, (L)	CT9ABO	via OM3GI (d), (L)
A73FIFA	via A71A (B), (L)	CT9ABV	via DL5AXX, (L)
A74FIFA	via QARS-Bureau, (L)	CW3A	via EA5GL (d), (L)
A75FIFA	via A71A (B), (L)	CW5X	via CX2ABC (d)
A76FIFA	via QARS-Bureau, (L)	CX1ØØB	via CX1AA (B), (L)
A77FIFA	via QARS-Bureau, (L)	CX3AT	via EA5GL (B), (L), (e)
A78FIFA	via QARS-Bureau, (L)	CX5A	via CX2ABC (B), (L), (e)
A722FWC	via A71A (B), (L), (e)	D2TX	via PA3CMC (L)
A71XX	via EC6DX (d), (L)	D44BM	via IW2KVT (B)
A91ARS	via EC6DX (d), (L)	D44PM	via IZ4DPV (d), (B), (L)
A91FTDMC	via EC6DX (d), (L)	D4L	via IK2NCJ (B), (L)
A91OMA	via EC6DX (d), (L)	D4Z	via IK2NCJ (B)
A44A	via A47RS (B), (L)	D6ØAE	via F5GSJ (B), (L)
AHØ/WA7WJR	via WA7WJR (d), (L)	D73G	via HL4CCM (B), (L), (e)
AH2/WA7WJR	via WA7WJR (d), (L)	DA0HQ	via DL5AXX
AM100RCE	via EA4URE	DA0RR	via DJ5BWD
AM23ØCW	via EA2CW (L), (e)	DAØT	via DL7AT (B), (L)
AM30FEDIEA	via EA3RKF (d), (e)	DA22LGS	via DL7ACN (B)
AM33ØHLM	via EA3HLM (nur L & (e)	DA2W	via ON3UN (B)
AM33ØRKM	via EA3RKM (L), (e)	DFØSAX	via DL3DXX (B), (L)
AM38SDC	via EA1AUM (B), (L), (e)	DK05ØBN	via DK5PD (B), (L), (e)
AM4ØRCH	via EA3RCH (B), (L), (e)	DK0AJ	via DH4FE
AM5ØØPCM	via EA7URF (B), (L), (e)	DK0dff	via DL7AFS (B)
AM630VQ	via EA6VQ (B), (L)	DK0DI	via DH7ZP (B)
AO12ØDRI	via EA7AMB (B), (e)	DK0GYB	via DK2AJ (B), (e)
AP2KN	via F6BFH (B), (*)	DK0SM	via DL6OCH
AP2TN	via N4BAA (World), RW6HS (Russia, d), (L)	DK5T/LH	via DK5ON (d), (B), (L)
AP75HA	via AP2HA (L)	DL0AGU	via DL1RNT (B)
AP75HAS	via VU2SMS (d)	DL0AH	via DG5YHE
AP75SD	via EA5ZD (B: nur Mail), (e)	DL0GEO	via DL2YAK (B), (L), (e)
AU2JCB	via VU2DSI (d), (e)	DL0JBB	via DL6YAO (B), (e)
AU75JRO	via VU2JRO (d), (L), (e)	DL0NOT	via DL1ZAV (B)
AU75SMS	via VU2SMS (d), (L)	DL164ØY	via DL3CQ (B), (e)
AP75TN	via RW6HS (d)	DL2ØSOTA/p	via DL6GCA
AZ1D	via LU1DX	DL6ØLINDAU	via DL1CBQ (B)
BP0A	via BV2KS	DL/AD8FJ	via E25KAE (B)
BW/DJ4JB	via DJ4JB (B)	DL/G4OBK/p	via G4OBK (d), (L)
BX0QSL	via BM2JCC, (e)	DL/HA7UL/p	via HA7UL (d), (L)
C37N	via C37URA (B), (L)	DL/HB9CYX/p	via HB9CYX (B), (e)
C6ADX	via W8GEX (L)	DL/ON6ZQ/p	via ON6ZQ (L), (e)
C6AGU	via HA7RY (L), (e)	DL/OK1DOY/p	via OK1DOY
C6AQ	via EA5GL (B), (L), (e)	DMØY	via DL3BQA (B)
C6AYL	via W8CAA (L)	DM20OTUS	via DJ8NU (B)
C7A	via UA3DX (B)	DM6ØUEA	via DL3BUA (B, autom.)
C91CCY	via K3IRV (B)	DP0POL	via DL5EBE (B)
CB3W	via XQ4CW	DP5N	via DJ0ACA
CB4A	via CE4UFC	DQ8FTDMC	via DM2RM
CN22JIM	via RW6HS (d)	DR0W	via DJ5MW
CN23NIL	via RW6HS (d)	DR1ØØRY	via DF2SD (B), (L), (e)
CN23NOA	via CN8NOA	DR3K	via DG1YKW (B)
CO7VI	via IK2DUW (d) und (L)	DR4A	via DJ9KM (B), (L)
CQ3J	via CT3MD and (L)	DR45HAAN	via DO9MP (B), (O)
CQ9T	via CT3KN	DU1/PG5V	via PG5V (d), (B), (L)
CR2X	via OH2BH (B)	DU3/W6QT	via W6QT (B), (L), (e)
CR3SI	via CT1DSV (B)	DU7/N7ET	via N7ET (B), (L)
		DV8/KH7EA	via SP3SUX (B)



DX8H	(d)	FY5KE	via FY1FL (d), (L)
E2WRTC	via E21EIC (B), (L)	G3M	via G4PEO (B)
E7/9A3DF	via 9A3DF	G5XV	via MØOXO ((O)), (L)
E7HQ	via E70ARA, (L)	G8T	via GW4SHF (B)
E77DX	via E73Y (B), (L)	G8X	via G4FJK (d), (L)
EA3ATO	via EA3RCI (B), (e)	GBØNFL	via MØLMK (nur (e))
EA5/ON5EB	via ON5EB (d), (B), (L)	GB13COL	via GØVLF (d)
EA6/DK1XAM	via DK1XAM (d)	GB1CSR	via MØOLT (B), (e)
EA6/DM7DX	via DM7DX (B)	GB2HMM	via GW4TTA (B)
EA8/IK0RWW	via IK0RWW	GB5GYD	via MØCQL ((e))
EA9KB	via EA7FTR	GB5TP	via MM0DFV
ED1R	via EC1KR (B), (L), (e)	GB6OUS	via MØOXO (B-(O)), (L)
ED2C	via EA2RCF (B)	GD2NV	via G2NV (nur (e))
ED2FSF	via EA2CYC (E-Mail)	GJ2A	via MJ0ASP (d), (L)
ED5HFD	via EA5HFD (B)	GM2T	via (B)
ED7O	via EA7EU (d)	GM4Z	via GM4ZUK (B), (L)
EE44C	via EC5WR (d), (L), (e)	GM6DX	via MØOXO (B-(O)), (L)
EF0F	via EA4URE (B), (L)	GQ4ATA	via GM4ATA nur (L)
EF1A	via EA1X (B), (L)	GS5DX	via EB7DX and (d), (L)
EF6T	via EA3AIR	GS8VL	via M0OXO ((O)), (L)
EG1FAG	via EA1JAY (B)	GUØVJG/p	via GØVJG (B)
EG1FPL	via EA1OK (EUROBURO)	GX1FCW	nur (e)
EG225GVJ	via (L), (e), (O)	GX3WIM	via G8MNY (L), (e)
EG2UNA	via EA2CW (L), (e)	GX5BBC	via G4HPE (B), (e)
EG3HAM	via EA7IXM (d)	GX5DX	via EB7DX (d)
EG4FDA	via EA4PN (nur (L))	GX6ZME/p	via G3ZME (B)
EG4RAM	via EB4AVN (d), (e)	H44MS	via DL2GAC (B), (L)
EG5NDO	via EA5URV (B)	H44SHD	via HB9SHD (B), (e)
EG75AM	nur (e)	HA/DK7TM	via DK7TM (B)
EG7FFP	via EA7FC	HA36EUDXF	via HA5MA (B), (L)
EG8BRIF	via EA8BM ((e) only)	HA5SPORT	via HA-(B)
EG8JPC	via EA8CPU	HBØ/DJ1AA/m	via DJ1AA (B), (e)
EH1OSM	via EA1UVR (B), (L), (e)	HBØ/DL2JRM	via DL2JRM (B)
EH1RGC	via EA1DST	HBØ/HB9DQM	via HB9DQM (B), (L)
EH2EUS	via EA2TP (B), (L), (e)	HBØ/OE9HRV	via OE9HRV (B)
EH2JDZ	via EA2URV (B)	HBØ/PA3CNO	via PE1FLO
EH5FPM	via EA5JDN and (L)	HB175RAIL	via (L)
EI/ON6QR	via ON6QR (B)	HB5ØSH	nur (L) & (e)
EI/SP8ECN	via SP8ECN	HB75SG/p	via HB9KNY (B), (L)
EI1Y	via EI5JQ (B), (L), (e)	HB9SPACE	via HB9ACA
EJ7EE	via OZ2I (B)	HC5JHT	via (L)
EL2EF	via N2OO, (L)	HD1HERO	nur (L)
ES5/LY1FW	via LY1FW	HF0ROSA	via SP7X (L), (e)
ET3PG	via F6BFH (B), (*)	HF1ØØL	via SP9KDR (B)
EV6Z	via DL8KAC (d)	HF1922PS	via SP9KJU (B), (e)
F/DL3SDE	via DL3SDE ((e))	HF1Z	via SP1EG (B), (L)
F/PA2S	via PA2S (B), (L), (e)	HF2ØLVK	via SP4LVK (B), (e)
FG/F6HMQ	via F6HMQ (B)	HF30STB	via SP9SCI (B)
FH/OK1M	via OK1WMR	HF3ØPSP	via SP9PSJ (B)
FJ/SP9FIH	via SP9FIH (B), (L)	HF77DIORA	via SP3PDO (B)
FJ/SP9FUY	via SP9FUY (B), (L), (e)	HF800M	via SP9PKS (B)
FJ4WEB	via K2LIO (d), (e)	HF9FIELD	via SN9PJ (nur (e))
FK8GX	via F5MFV (d)	HF95PRK	via SP9KJU
FM5BH	via W3HNK (d), (L)	HG0IDPD	via HA5MA (d), OQRS (C); keine QSL benötigt
FO/DJ6GI	(L), (e)	HGØWFF	via HAØHW (B-(O)), (L)
FO/F6BCW	via F6BCW (B)	HG1Z	via HA1XY (B)
FO/K6VVK	via (L) & (e)	HG1222BA	via HA4KYB
FP/KV1J	via KV1J (B), (L)	HG4I	via HA5LN
FR/OK1M	via OK1WMR		



HG5A	via HA5KDQ (B), (L), (e)	J43POTA	via SV3SPD (L), (e)
HH18NOV	via N2OO (B)	J5GQA	via CT2GQA (B), (e)
HH2AA	via EB7DX (L), (d)	JD1AJD	via JA1ADT (B), (L)
HI8J	via RW6HS (d), (L)	JW/KA1IS	via KA1IS (B)
HI9/IK2KTE	via IK2KTE	JWØA	via K4NHW (B), (L)
HL77V	via 6KØMF (B)	JW7QIA	via LA7QIA (B), (L)
HLØ9NWPF	via HL5BJU (B), (L), (e)	JW7XK	via LA7XK (B), (L), (e)
HP1/EA5XV	via EA5XV (B)	JX/LB4MI	via LB4MI (B), (L), (e)
HR9/K6VHF	via K6VHF (B), (L), (e)	K4C/75	via N4JR (B)
HQ9X	via KQ1F (B), (L)	K4WK/VE3	via K4WK
HR5/F2JD	via F6AJA (B), (L)	KH6/ND0B	via ND0B (d), (L)
HS0ZJF	via ON4AFU (d), (B)	KH6ND/W7	via KH6ND (L)
HS0ZNR	via VK2FY (d), (L), (e)	K5A	via K5DB (d), (L)
HS0ZOA	via EB7DX (d), (e)	K8H	via W7YAQ (L)
HS7AP/p	via E21IZC	KL7J	via N3SL (B), (L)
HVØA	via IKØFVC (d), (L)	KP2/KB5RF	via KB5RF (nur (L))
HZ1CY	via A61BK (d), (L)	KP2B	via EB7DX (d), (L)
HZ1CPCF	via HZ1SAR	KP4/E77DX	via E73Y (B), (L)
HZ1UAE	via HZ1SAR (d)	L2ØD	via LU3DXG (L), (e)
HZ92ND	via HZ1SAR (d)	L50DY	via LU8DY (L), (e)
I/HB9BIN/p	via HB9BIN (B), (L)	L60CBA	via LU5CBA
IBØV	via IU3EDK (B)	LA/PE1ITR	via PE1ITR (B), (L)
IB9T	via IT9TQH and (L)	LA/SP7VC	via SP7VC (d), (e)
IC8/IK6CAC	via IK6CAC (L), (e)	LA/ON4ROB/P	via ON4ROB
IC8/KL1A	via OE1ZZZ (d)	LB5SH/p	via LB5SH (B), (L)
ID9Y	via IK8YFU (d), (L), (e)	LC1R	via LB5SH (B), (L)
IF9A	via IT9ATF (B), (L)	LC5C	via LA6KOA (B)
IG9/IZ8FFA	via IZ8FFA (d), (L)	LP1A	via EA7FTR (L)
II1MM	via IK1VHX (e)	LV1E	via LW6EQG (B), (L), (e)
II2FTDM	via IK2EKO	LW2DO	via EC6DX (d)
II5RM	via IK5WOB (B)	LX/PA3FQX	via PA3FQX
II7ML	via IQ7ML ((e))	LY770CT	via LY1CT and (L)
II9IALU	via IT9MRM (d), (e)	LY786A	via LY5A (B)
II9IAKE	via HE9ERA (B)	LZ/OP4L	via ON4LDK (d), (B)
II9IGDG	via IT9DSA (d), (e)	LZ/SQ2M	via SQ2M
II9JOTA	via IT9LIZ	LZ0KP	via SV2CLJ (d), (L)
IK1TNU/IA5	via IK1TNU	LZ1Ø5IN	via LZ1ZF (B)
IK2LEY/ISØ	via IK2LEY	LZ258ML	via LZ1KCP (B), (L)
I6/OT1V	via ON8VM (B), (L), (e)	LZ2K	via LZ4AE
IL7/IK5AEQ	via IK5AEQ (B), (L), (e)	LZ25MIG	via LZ1ZF (B)
IL7/IZ5IUY	via IZ5IUY (auch (e))	LZ31ZE	via LZ1KCP (B), (L)
IM0A	via IS0BSR ((L) only)	LZ4A	via LZ1YQ (d)
IM0B	nur (L)	LZ457PP	via LZ1KCP (B), (L)
IN3/DL7CX/p	via DL7CX (B), (L)	LZ540DS	via LZ1KCP (B), (L)
IN3/HB9BXQ	via HB9BXQ (B)	LZ5G	via LZ5ET (B)
IP1X	via IU1JCZ (B)	LZ6E	via LZ1GU (B)
IP6POPE	via IZ6BRJ	LZ6T	via LZ2JA
IQØAK	via ISØJXO (B), (e)	M/LY4L	via LY4L (L)
IQ1SV	via IZ1JIZ	M2J	via G4NBS (nur (L))
IQ3DD	via IZ3NWT (Bureau)	M4T	via M0BEW ((e) only)
IR1DCI/5	via IK1GPG (B), (L)	MD7C	via MØOXO (B-(O)), (L)
IR1DCI/8	via IK1GPG (B), (L)	MM1E	via (L) (kein Bureau)
IR9K	via (B), (L)	MN5A	via G3TXF (B), (L)
ISØ/DJ2TG/p	via DJ2TG (L), (e)	MS0ORK	via MM5DWW (d)
J2ØEE	via F4DXW (d), (L), (e)	MQ0PAM	via MØPAM (d), (L), (e)
J28HJ	(L)	NØC	via WØUY (d), (L)
J28JD	via EA5GL (B), (L)	N1N	via K6ZO (L)
J28MD	via IK2VUC (B)	NL8F	via N7RO (d), (L)
J3/N9GB	via N9GB	OD5ZZ	via N4GNR (d), (L)



OE05FTDMC	via	OE1SGU (L), (e)	PA6ØCUBA	via	PA1FZH
OE25MFCA	via	OE6XMF (B)	PA6ØEHSB	via	PA5ABW (B)
OE0FTDMC	via	OE6VIE (B-(O)), (L)	PA6ØNN	via	PC4C (B), (L)
OE0HQ	via	OE3KAB (L)	PA75DXCC	via	PA0ABM (O), (L)
OE25TU	via	OE-Bureau	PA9ØØUTR	via	PI4UTR
OE3DIA	via	OE1DIA (d), (e)	PC2ØSAIL	via	PAØRDY (B)
OE5D	via	OE2UKL (B), (e)	PD36EUDXF	via	PA1AW (B), (L)
OE6ØSTMK	via	OE6WIG (B)	PE36EUDXF	via	PA1AW (B), (L)
OE7ØFI	via	OE5FSL (B)	PF01MAX	via	PC2F and (L)
OH0CO	via	SM6CCO (d), (L)	PF36EUDXF	via	PA1AW (B), (L)
OJ0DX	via	DL3DXX (B-(O)), (L)	PF44F	via	(L) (kein Papier)
OJ0JR	via	OH3JR (B), (L)	PF6SKCC	via	PG4I
OJ0MR	via	OG2M (d)	PF6ØPENM	via	PF9W (B), (L)
OK/SQ9MDF/p	via	SQ9MDF (B)	PGØØT	via	PA2TMS (B), (e)
OK5D	via	OK1DTP (B), (L)	PG6PEACE	via	PG5FRL, (L)
OK5M	via	OK5MM (B)	PI4COM	via	PA1AW and (L)
OK5Z	via	OK2ZI, (L)	PI4DX	via	PD1DX (d), (B), (L)
OK8CX/p	via	DL7CX (B), (L)	PI4NTC	via	PG4I
OK8MA/p	via	SP9MA (B)	PI4RCA/p	via	PA4T (B)
OL1T	via	OK6DJ (B), (L), (e)	PI75ØGAZ	via	PA-(B)
OL15SOTA	via	OK1CYC (B), (L)	PJ2/DK5ON	via	DK5ON (d), (B), (L), (C)
OL3Y	via	OK1CRM (B), (L)	PJ2/K5PI	via	K5PI
OL5GMA/p	via	OK3EQ (B), (e)	PJ2/VE3CX	via	VE3CX, (L)
OMØR	via	OM3GI (d), (L)	PJ2/VE3JM	via	VE3JM
ON/SP7THC	via	SP7THC (d)	PJ2/W9NJV	via	WD9DZV, (L)
ON37IOF	via	ON7QC (B)	PJ4/K4BAI	via	K4BAI
OO22FLY	via	nur ON-Bureau	PJ7/G4JEC	via	NØUK (B), (L)
OO36EUDXF	via	ON6CC (B), (L)	PP2/DL3SEZ	via	DL3SEZ (B)
OO7Z/p	via	ON6KZ (B), (e)	PQ3G	via	PY3OZ
OP4K	via	ON4JZ and (L)	PR1T	via	PY1ZV (nur (L))
OP9T	via	ON5CT, (L)	PR2R	via	PY2ERA (d), (B), (L)
OQ4U	via	ON4AMX (B), (L)	PT5C	via	PY5HC (B), (L), (e)
OQ5M	via	ON5ZO (L), (e)	PT5J	via	PP5JR und (L)
OR1Ø5ØHERZ	via	ON-Bureau	PT6B	via	PY6HD (d), (L)
OR1Z/p	via	ON6IX (d), (e)	PV2ØØBR	via	PY2KP (B), (L), (e)
OR7ØFI	via	OR4K (B)	PV2K	via	EA5GL (B), (L)
OR7G/p	via	ON7VG (auch (e))	PW2IND	via	PP5AA (B), (e)
OR78CLM	via	ON6HC (B)	PX2A	via	PY2VM (d), (L)
OR8W	via	ON4BDV	R1941MB	via	R2DX (B), (L), (e)
OS5Z	via	ON5CAZ (B)	R2022DX	via	RQ7L
OT4N	via	ON4CN (B), (e)	R245GC	via	RW1QN (B), (L), (e)
OT5IDPD	via	ON6WL (B), (L)	R50RCR	via	RV3VR
OT5Q	via	ON4KNP (B), (L)	R8ØURAN	via	UA4AJD (B)
OU5K	via	OZ1BEF (d)	R7ØØSSR	via	RØSI
OV2T	via	PAØABM (B), (L)	RI41POL	via	RN3RQ (B)
OV3T	via	OZ4XL (nur (L))	S21SM	via	OH6EAC (d) und (L)
OV5W	via	OZ1GIN	S50HQ	via	S54G (B), (L)
OX7AM	via	OZ1ACB ((O)), (L)	S79/RM8A	via	RM8A (direct)
OY7EE	via	OZ2I (B)	SB6A	via	SA6AOA (nur (L))
OZ50DDXG	via	OZ1ACB (O), (L)	SF6F	via	SA6FOL (nur (L))
OZ5W	via	OZ7QC, (L)	SI3A	via	SM3LIV (B), (L), (e)
P29LL	via	EA7FTR (d)	SK75BL	via	SK1BL (B, automatisch)
P29RO	via	DL4SVA (B), (L)	SM/OH2NOS/p	via	OH2NOS
P3AA	via	RW3RN (d), (B)	SM2M	via	SM2LIY (B), (L), (e)
P3X	via	UT5UDX (L), (e)	SN15ØBRAIL	via	SP2PBY (B)
P4ØL	via	WA3FRP (B), (L)	SN2ØØO	via	SP2PGD (B,
P44W	via	N2MM (d), (L)	SN2ØØW	via	automatisch)
PA1VS	via	DE7VSH (B), (L), (e)			SP2PGD (B,
PA22VUELTA	via	PI4UTR			automatisch)



SN2M	via SP2XF (d), (B), (L)	TM2D	via F5KHP (e)
SN500GM	via SP5PMU (B)	TM2LD	via F4GQP (B)
SN5N	via SP5KP (d), (L)	TM34SCRP	via F5JBU (d), (B)
SN6J	via SP6FHU (B)	TM35FIST	via F6JOE (d), (B)
SN89LOT	via SP1PMY (B)	TM36EUDX	via PA1AW (B), (L)
SN8K	via SQ8ERS (B), (L)	TM3GGR	via F6KUF (B); F5OEV (d)
SN95PRK	via SQ9FMU (B)	TM3Z	via F4DSK (B)
SOØKBW	via SP3PDO (B)	TM400MO	via F4DTO (B)
SO95PRK	via SP9WZO	TM5ØARML	via F4ILK (B), (e)
SP77DIORA	via SP6PZB (B)	TM50SC	via F6PCT
SP9FIH/VP9	via SP9FIH (d)	TM50VAR	via F4GPB (d), (B)
SP95PRK	via SP9PNB (B)	TM55TDL	via F4IVC (d), (e)
SQ75ZOT	via SP1EG	TM5TD	via F6KMB
SQ95PRK	(B)	TM55NSNM	via F4GPB (B), (e)
ST2SA	via F6BFH (B), (*)	TM59TDF	via F8KGS
SU8X	via OH2BH (B)	TM62YT	via F4GYG (e)
SV9/OK6DJ	via OK6DJ (L), (e)	TM65M	via F5RAB
SX1ØØMRH	via SZ2RWM (d), (e)	TM72LMC	via F1IEH (L)
SX14ASTRO	via SZ1A (B), (L), (e)	TM72WOW	via F1IEH (d)
SX2IMA	via SV2JAO (d), (e)	TM74CHX	via F4IRT (B), (L), (e)
SX22HAF	via SV1AHH (nur L & (e)	TM78DP	via F4GPB (B), (e)
SX338M	nur (L), (e)	TM8AB	via F4KJQ
SX39J	via SV2GWY (d), (L), (e)	TM8GE	via F6KFI (B)
SX44JM	via SV1AHH (L), (e)	TM8R	via F5BNJ (B), (L)
SX8AEG	via SV8MQP (B), (e)	TM90GF	via F4KLR (B), (e)
SZ1KVDD	via SV1ENG (B), (L)	TM100UNOR	via REF-Bureau
T88PB	via JAØJHQ (d), (L)	TO2DL	via DL7DF ((O)), (L)
T88RC	via JH1FFW (B), (L), (e)	TO5A	via F5VHJ (B), (L)
TA3J/0	via TA3J (B), (L)	TO9W	via W9ILY (O), (L)
TA4/OH2KW	via OH2KW (B), (L)	TT8SN	via F8FQX
TA4/SQ9UM	via SQ9UM (d), (L), (e)	TX7G	via F6BCW (B,automatisch)
TC29EKM	via (e)	TY0RU	via R7AL ((O)), (L)
TC7G	via YM7KK (d), (L)	TY5AF	via (B – (O)), (L)
TG9ADM	via EA5GL (B), (L)	TZ4AM	via W0SA (B), (L)
TI1FIFA	via (d), (L)	UE32DX	via RQ7L
TI2VLM	via EA5ZD (d), (L)	V26K	via AA3B (B), (L), (e)
TI5/N3KS	via M0URX (O) und (L)	V26OC	via N3OC (d), (L)
TI7/HB9BHU	via HB9BHU	V31XX	via K4XS (d)
TK/S53WW	via S53WW, (L)	V4/NT5V	via NT5V (B), (L)
TK/S57L	via S57L, (L)	V47FWX	via MØURX (B–(O)), (L)
TK/S57VW	via S57VW	V48A	via WX4G (B), (L), (e)
TK0C	via S50C (d), (B), (L), (e)	V48DM	via N4GNR (B), (L)
TMØW	via F2CT (L), (e)	V5/HB9BFM	via HB9BFM (B), (L)
TM1MLB	via F4KMI (B), ((e))	V5/ZS1WO	via DH3WO (B)
TM1SOTA	via nur (e)	V51LZ	via EA5GL (B), (L), (e)
TM1ØKIY	via F4KIY (B), (L), (e)	V73MS	via WV7MS (d), (L)
TM109TDF	via F8GGZ	V85/F5NPV	via F5NPV (L), (e)
TM1ØØBBC	via F8GGZ (B)	V85NPV	via nur (e) & (L)
TM1ØØCARD	via F5PTI (B), (L), (e)	VB4LIGMA	via A4BEN
TM100UNOR	via F8KHG (B)	VE2PEACE	via VE2JCW (d)
TM1Ø5BDC	via F8KGN (B)	VE3KTB/VY0	via M0OXO (B-(O)), (L)
TM11SRY	via F5KCC	VG5DX	via VA5DX (d)
TM13COL	via F5OGL (L)	VJ2J	via VK2CZ (d)
TM17FFF	via F4GFE	VJ3A	via VK3JA and (L)
TM17MGF	via F5KLJ (B)	VJ4K	via N3SL (B), (L), (e)
TM1SSOU	via F6KGL	VJ4T	via VK4QH (L), (e)
TM2ØØLP	via F8GGZ (B)	VL2B	via VK2BJ ((L) only)
TM22CAD	via F1LPT ((e) only)	VL2G	via VK2GR ((L) only)
TM2ALMA	via F5PTA (d), (e)	VL2N	via VK2PN ((L))



VL3E	via VK3TZ and (L)	Z66BCC	via DL2JRM (B)
VL6C	via VK6IR (O) und (L)	Z68EE	via OZ2I (B), (L)
VP2ETE	via W3HNK, (L)	Z66X	via OH2BH (B), (L)
VP2MJA	via VE3WB	Z68XX	via DL2JRM (B)
VP8TAA/p	via MØOXO (B- <u>(O)</u>), (L)	ZA/OE6TQG	via OE6TQG and (e)
VP9/N8QNT	via N8QNT (B)	ZA/OE8NDR	via DE1QSL
VP9/SP9FIH	via SP9FIH	ZA/SQ9MDF/p	via SQ9MDF (B)
VKØWN	via VK7WN (B), (L)	ZF1A	via K7ZO ((O)), (L), (d), (B)
VK36EUDXF	via VK2WN, (L), (e)	ZF2AA	via VE3IKV (d)
VK5X	via VK5XDX ((L))	ZF2OO	via WB2REM (d), (L)
VK6T	via EA7FTR (d), (L)	ZF2PG	via K8PGJ (d), (L)
VK75FAA	via VK2YVA (B)	ZF2MJ	via N6MJ and (L)
VK8NSB	via M0URX (O) und (L)	ZL1X	via ZL1BVA (e)
VK9C	via EB7DX (d), (L), (e)	ZL4/VE6TC	via VE6TC (L), (e)
VK9CM	via EB7DX (d), (L), (e)	ZL7/K5WE	via K5WE (d), (L)
VK9XX	via EB7DX (d), (L)	ZL7/ZL1VV	(L)
VK90ABC	via VK1RAS (L), (e) only	ZV2X	via PY2YVN
VX2I	via F5JYD (B), (d), (L)	ZV8C	via PQ8SL (d), (L)
VR25RC	via VR2RC	ZW2ØØESQ	via PY1JR (B)
VR25XMT	via VR2XMT (d), (L)	ZW2A	via PY2SGL (d), (B), (L)
VP2ETE	via W3HNK (d), (L)	ZW7I	via PY7WM (B), (L)
VP2MJA	via VE3WB (L), (e)	ZX8F	via PS8RV (B), (L)
VP5Y	via VE3RZ	ZY0FUN	via PY2RN ((O)), (L)
VP8TAA	via M0OXO (O), (L)	ZZ1S	via PY1IO (d), (LO)
WØ /VK3BDL	via VK3BDL	ZZ2OO	via (B), (L)
W1N	via K6ZO (L)		
W2/JR1AQN	via JR1AQN (B), (L), (e)		
W2C	via N2MC (d)	(d) = direkt	(B) = Büro ok
W2I	via W2TMR (d), (L), (e)	(L) = (L)	(O) = (O)
W3R	via NY9H	(C) = ClubLog	(e) = (e)
W4G	via K4DSO (d), (L)	(*) = neuer Manager	(Q) = QRZ.COM
W4T	via W4ABP (d)	H/c = Homecall	
W7/KH7X	via KH7X (d), (B)		
W8W	via W8KVK (d), (e)		
XE1HG	via EA5GL (d), (L)		
XF1S	via IT9EJW (B)		
XIØX	via XE1KK (nur (L))		
XM3A	via VE3NOO (B), (e)		
XT2AW	via M0OXO (O) und (L)		
XV9BPO	via EA5GL und (L)		
XV9SB	via WB4SAB (d)		
XV9K	via DJ6TF (B), (L)		
XW4KV	via F4BKV (B), (L)		
XZ2B	via JH3SIF (B), (L)		
YB0AR	via EB7DX (d) und (L)		
YBØECT	via W2FB (d), (L)		
YB8QT	via IK2DUW (d), (L)		
YH0R	(B), (L), (e)		
YJØAUS	via F6BFH (B), (*)		
YJØCA	via VK2YUS (d)		
YJØDA	via VK4MAP (d)		
YK1AA	via F6BFH (B), (*)		
YO3IMD	via YO3KPA (B), (L)		
YR1400VT	via YO6KGS (e)		
YR2X	via YO2LEA (B), (e)		
YS1RR	via F6BFH (B), (*)		
YR6MUSEUM	via YO6KNE (B), (L)		
YU/OK1ARI/p	via OK1ARI (auch (e))		
Z21LS	via DE1ZHB (B), 7Z1HB (d)		

*** Aufgrund der anhaltenden und sich ständig ändernden Situation von COVID-19 auf der ganzen Welt, können die angekündigten Aktivitäten ohne vorherige Ankündigung verkürzt, verschoben oder **sogar abgesagt werden.** ***



Abkürzungen:

ARLHS	Amateur Radio Lighthouse Society
DCI	D.C.I. (Diploma Castelli Italia) http://www.dcia.it/dci/
DCPC	D.C.P.C. (Diploma Castelli Provincia Cuneo)
DFCF	Diplome des Forts et Chateaux de France
DIFM	Diplôme des Iles de la France Métropolitaine
H/c	Homecall
ILLW	International Lighthouse Lightship Weekend
IOCA	Islands Of Croatia Award
IOTA	Islands on the Air
(L)	Logbook of the World
(O)	Online QSL Request System
POTA	Parks On The Air
RDA	Russian District's Award Program
RLHA	Russian Lighthouse Award
SNSM	Société Nationale des Sauveteurs en Mer
URE	Unión de Radioaficionados Españoles
WCA	World Castles Award
WLOTA	World Lighthouse On The Air Award
WRTC	World Radiosport Team Championship
WWFF	World Wide Flora & Fauna
YOTA	Youth On The Air

Wir bedanken uns für die Mitarbeit an dieser Ausgabe bei: I1JQJ/IK1ADH & 425 DX News, DX World, DXNews.com, VA3RJ, KB8NW & OPDX-Bulletin, DF6EX (für WIN-QSL), DL1BAH, DL1SBF, DL3FF, DL7MAE, EA3HKY, UA1OBA, F6AJA & Les Nouvelles DX, Islands On The Air, NG3K & ADXO, OE2IKN, OM3JW & IDXP, OZ6OM & 50 MHz DX News, W3UR & The Daily DX ...u.a.

Kostenloses Abo DXMB / DXNL:

DXMB Abonnement / DXNL Subscription

<https://www.darcdxhf.de/dxmb/>

PDF-Version in Deutsch (farbig, mit Bildern):

<https://www.darc.de/der-club/referate/dx/dxmb/>

TXT-Version deutsch (nur Text, ohne Bilder):

<https://www.darc.de/der-club/referate/dx/dxmb/>

TXT-Version englisch (nur Text, ohne Bilder):

<https://www.darc.de/der-club/referate/dx/en/dxnl/>

Archiv:

<https://www.darc.de/der-club/referate/dx/dxmb/>

DXMB-Homepage:

<https://www.darc.de/der-club/referate/dx/dxmb/>